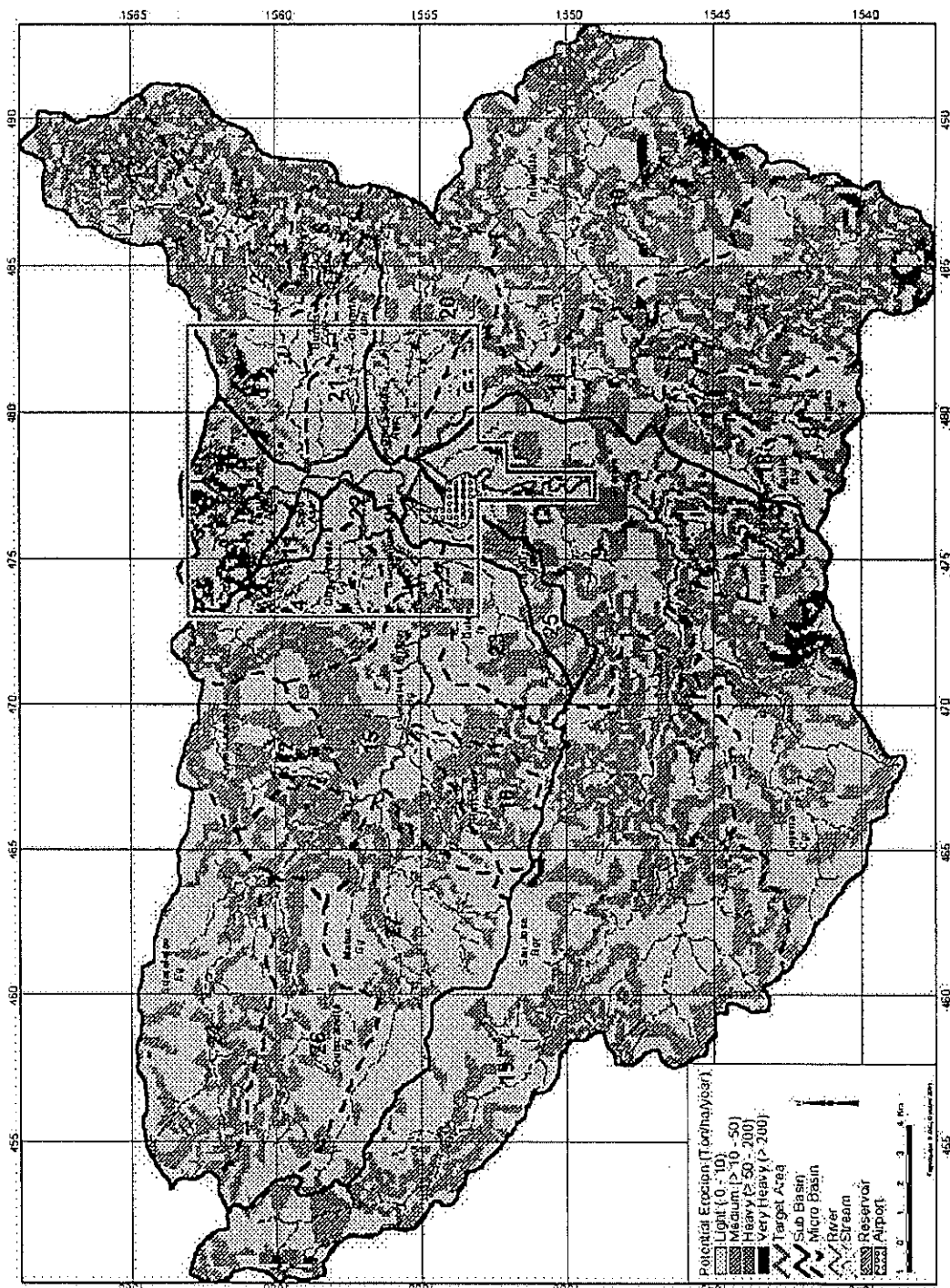


Figura 2.8

Mapa de Area Hist6rica de Tegucigalpa/Comayagua y Areas Vecinas, 1994



Sources of Land Use:  
 1. Topo Atlas: Aerial Photography, Scale: 1:10,000 at the project (Feb. 2001).  
 2. Base of Study: Aerial and US Map, Scale: 1:500,000, Tom 112C, USTI & Asociada, 1982, Proyecto: Agua Subterráneas y Medio Ambiente para Tapachula.

Figura 2.9

Distribución de Potencial de Erosión en el Area de Estudio

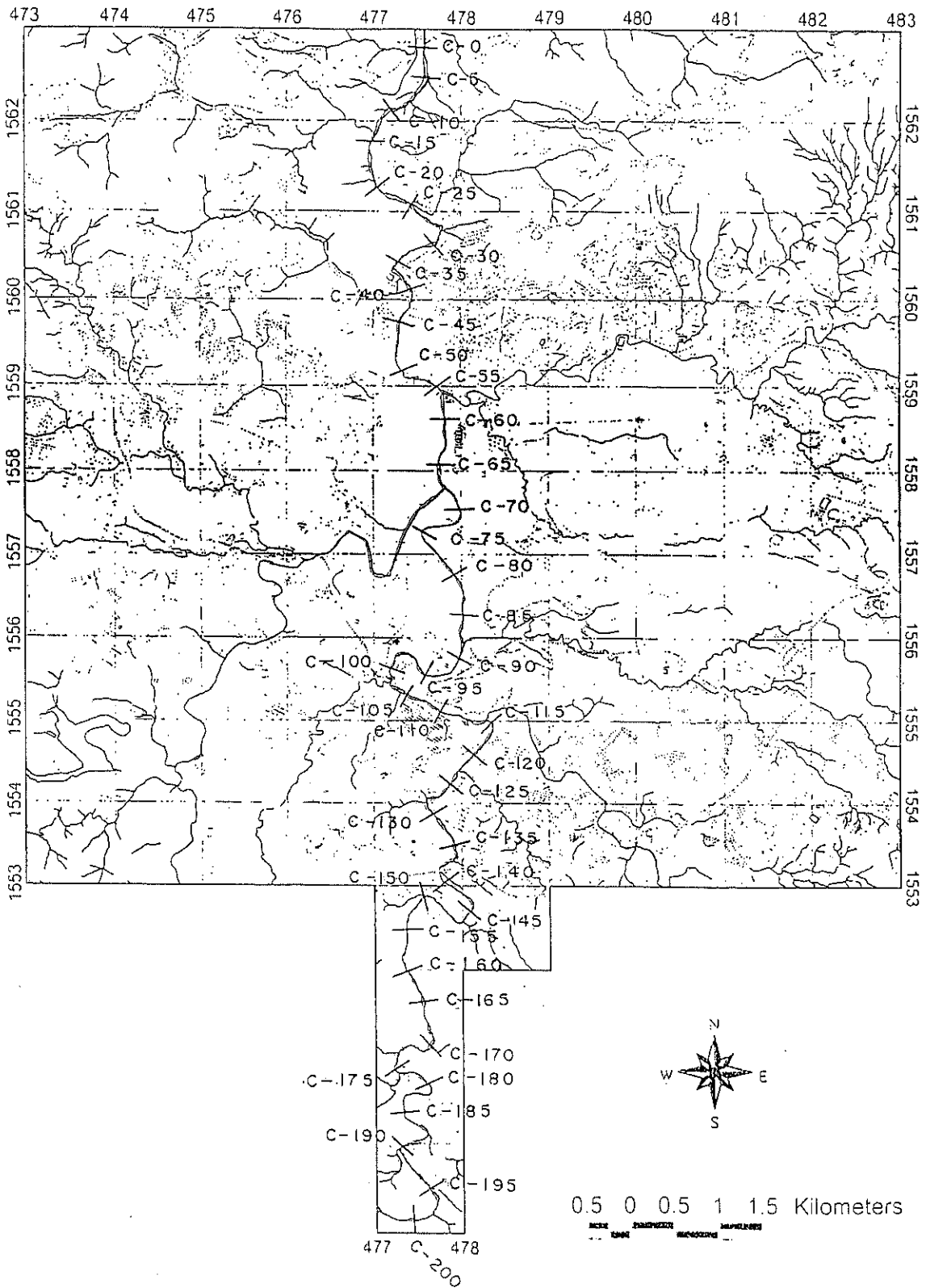


Figura 2.10

Río Choluteca con el Número de Mojones del Estudio del Río

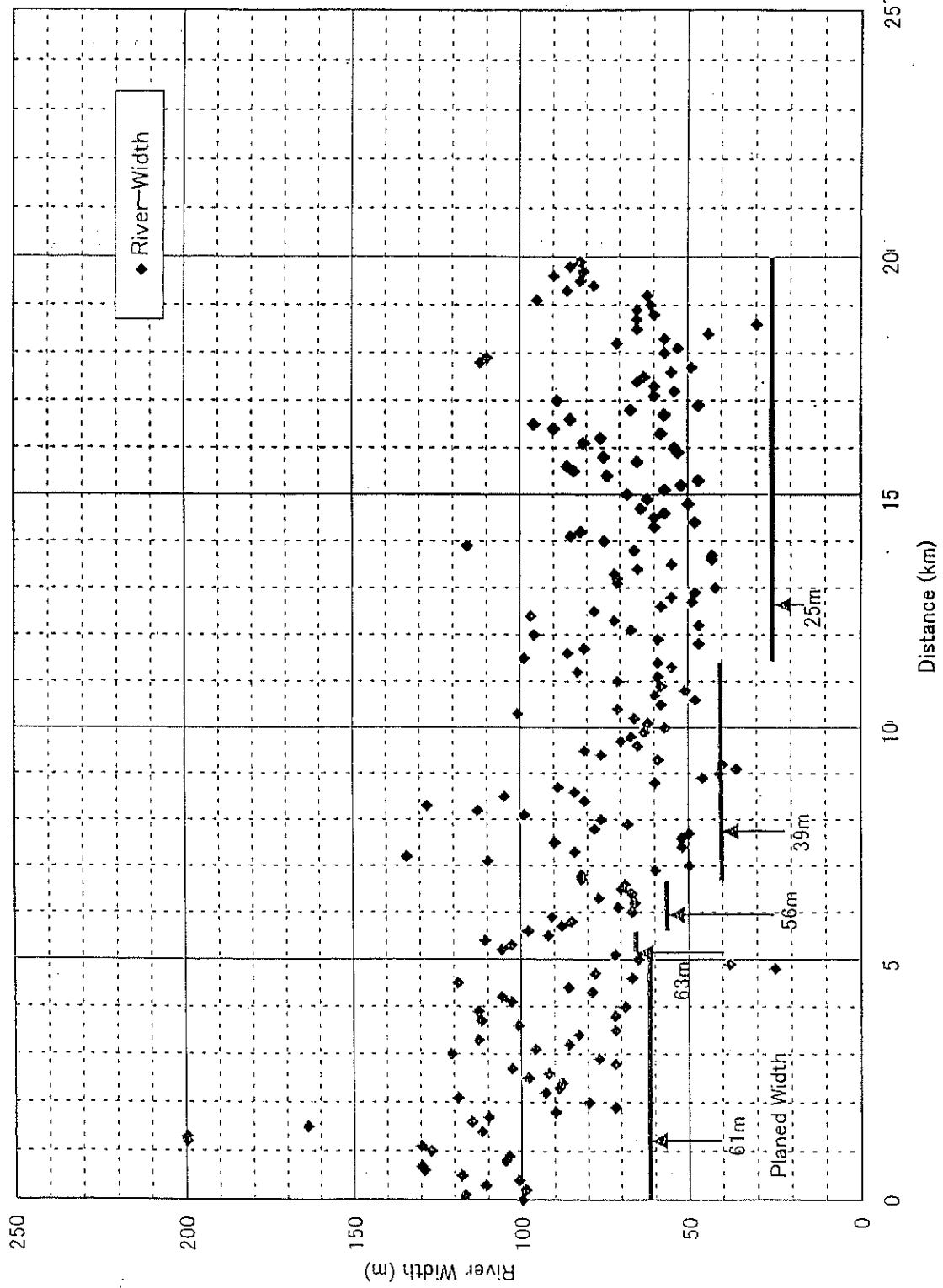


Figura 2.11

Ancho del Río Actual

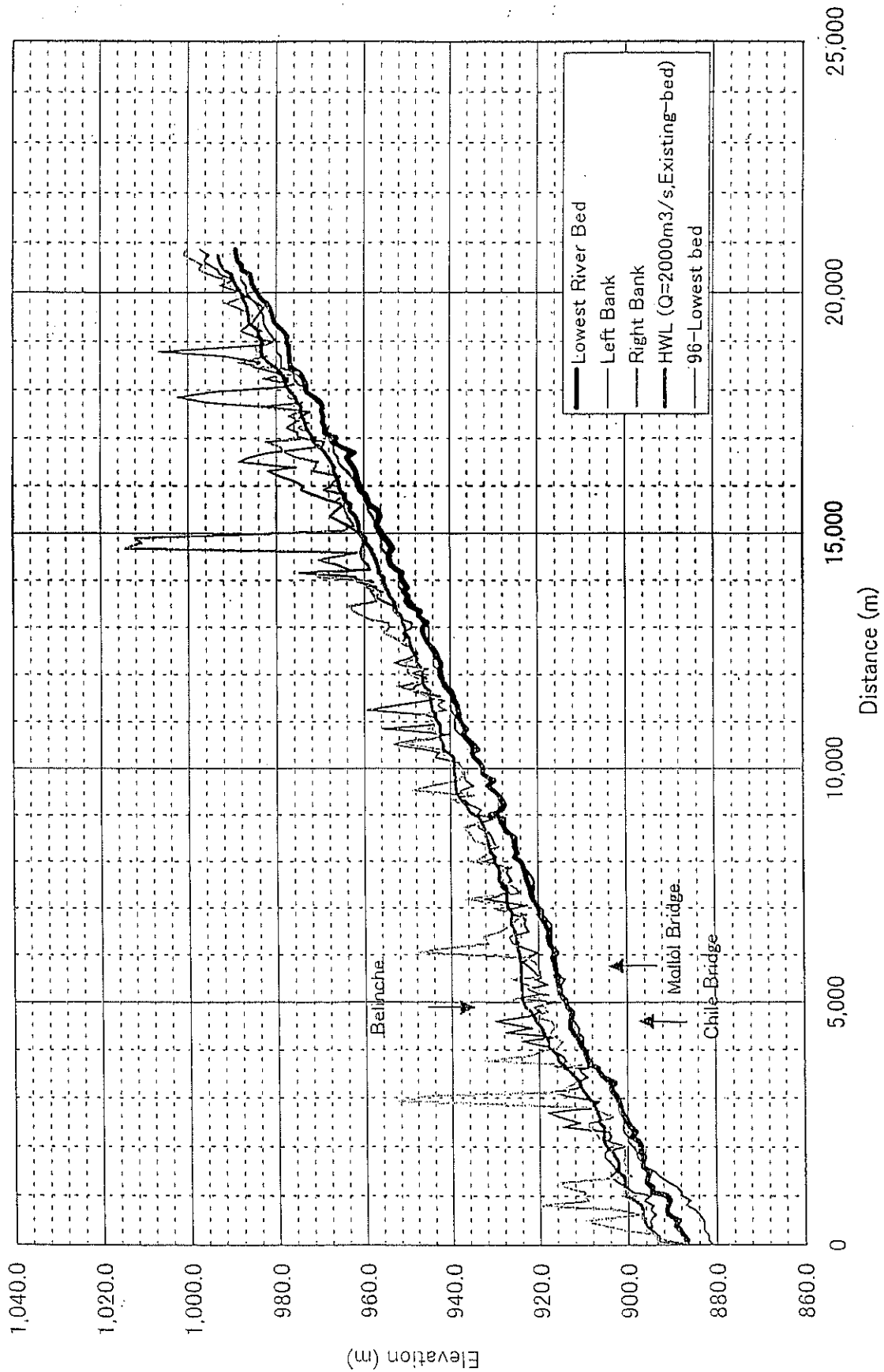


Figura 2.12

Perfil del Río Actual

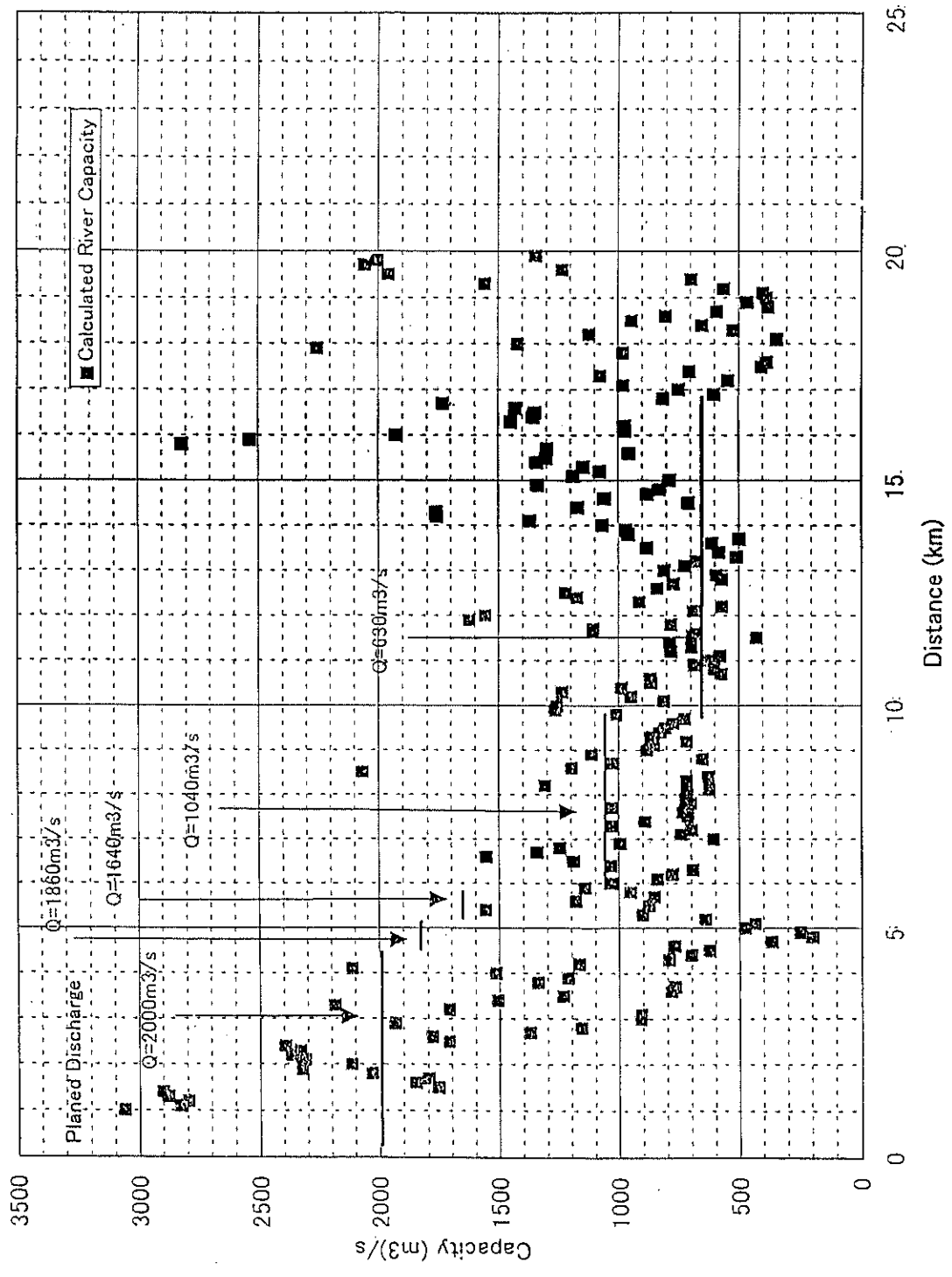


Figura 2.13

Capacidad de Descarga de Cada Sección del Río

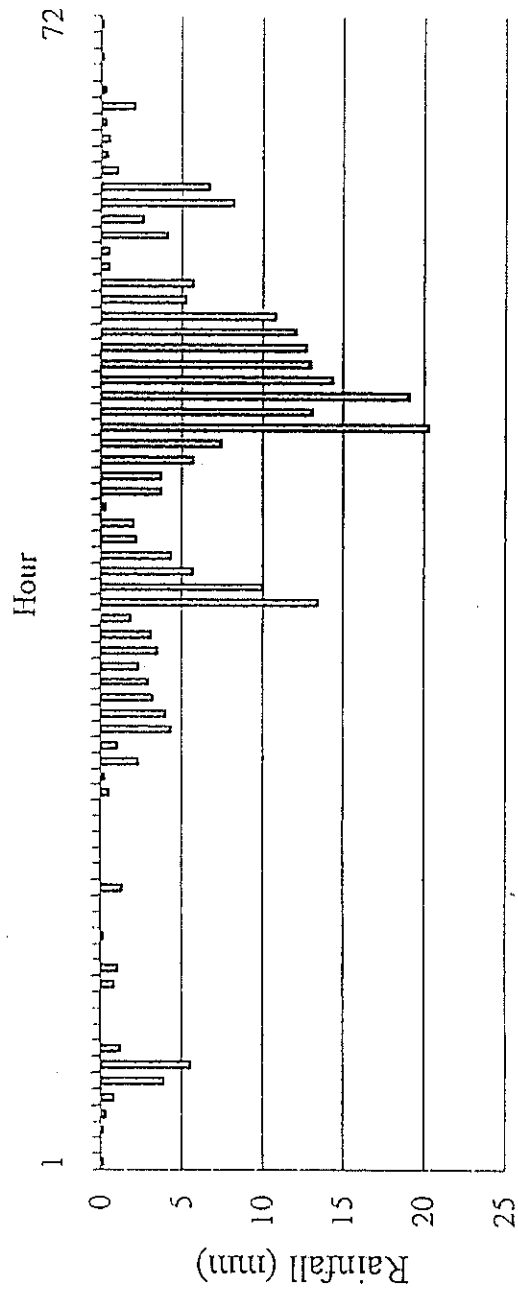
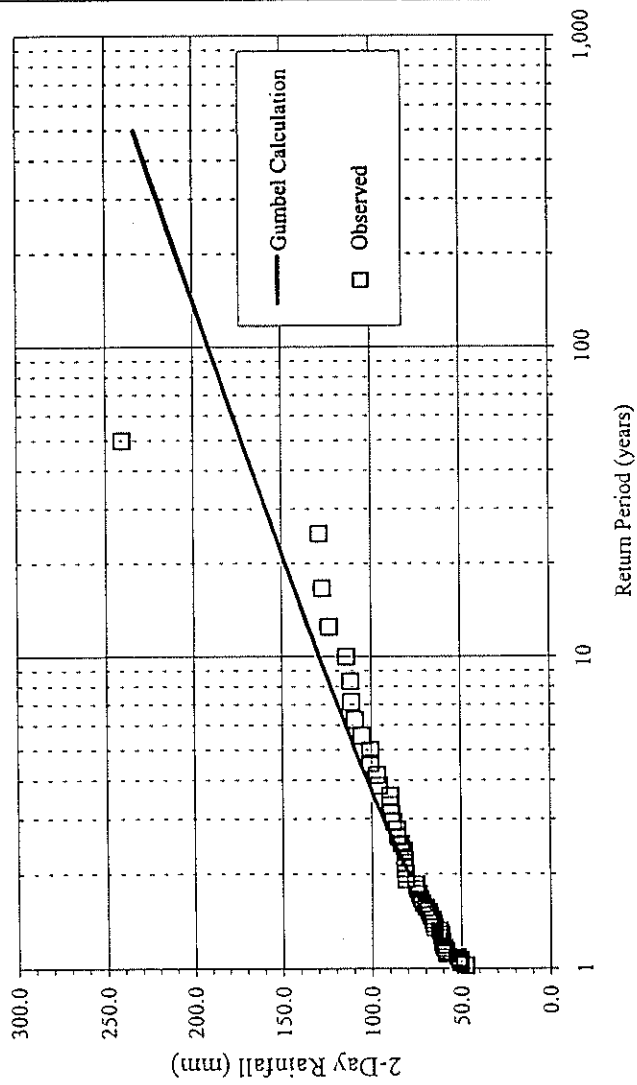


Figura 2.14

Precipitaciones Registradas en Toncontin durante el Huracán Mitch

Maximum 2-Day Rainfall and Return Period at Toncontin Station  
(Data from 1951 to 1999)



Return Period (year)	2-Day Rainfall (mm)
500	233
400	227
300	220
250	215
200	209
150	202
100	191
80	185
60	177
50	172
40	167
30	159
25	154
20	148
15	140
10	129
9	126
8	123
7	119
6	115
5	109
4	103
3	93
2	79

Figura 2.15

Precipitación Máxima de 2-Días y Periodo de Retorno en la Estación Toncontin



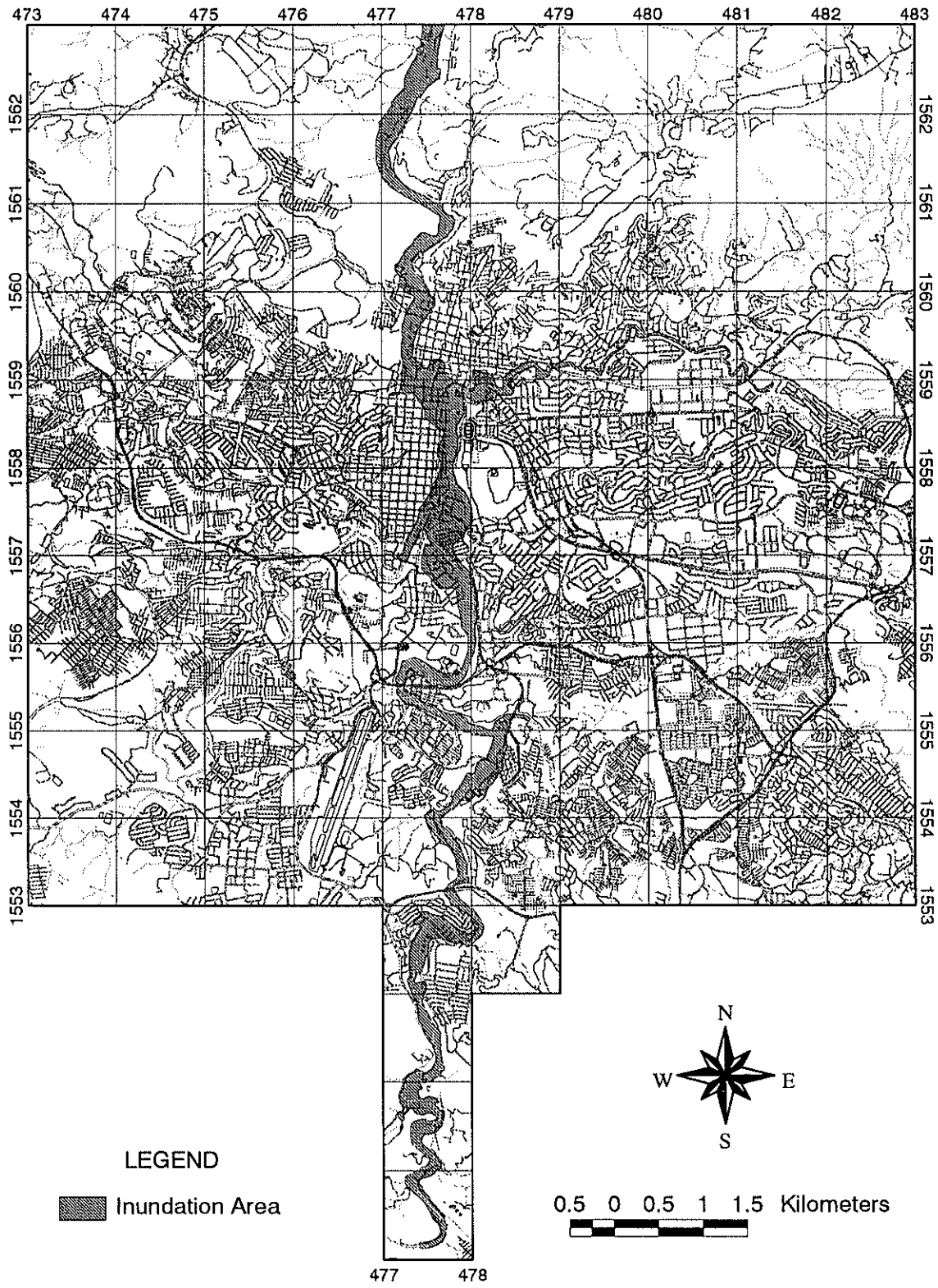


Figura 2.16

Resultados del Estudio de Marca de Agua Alta

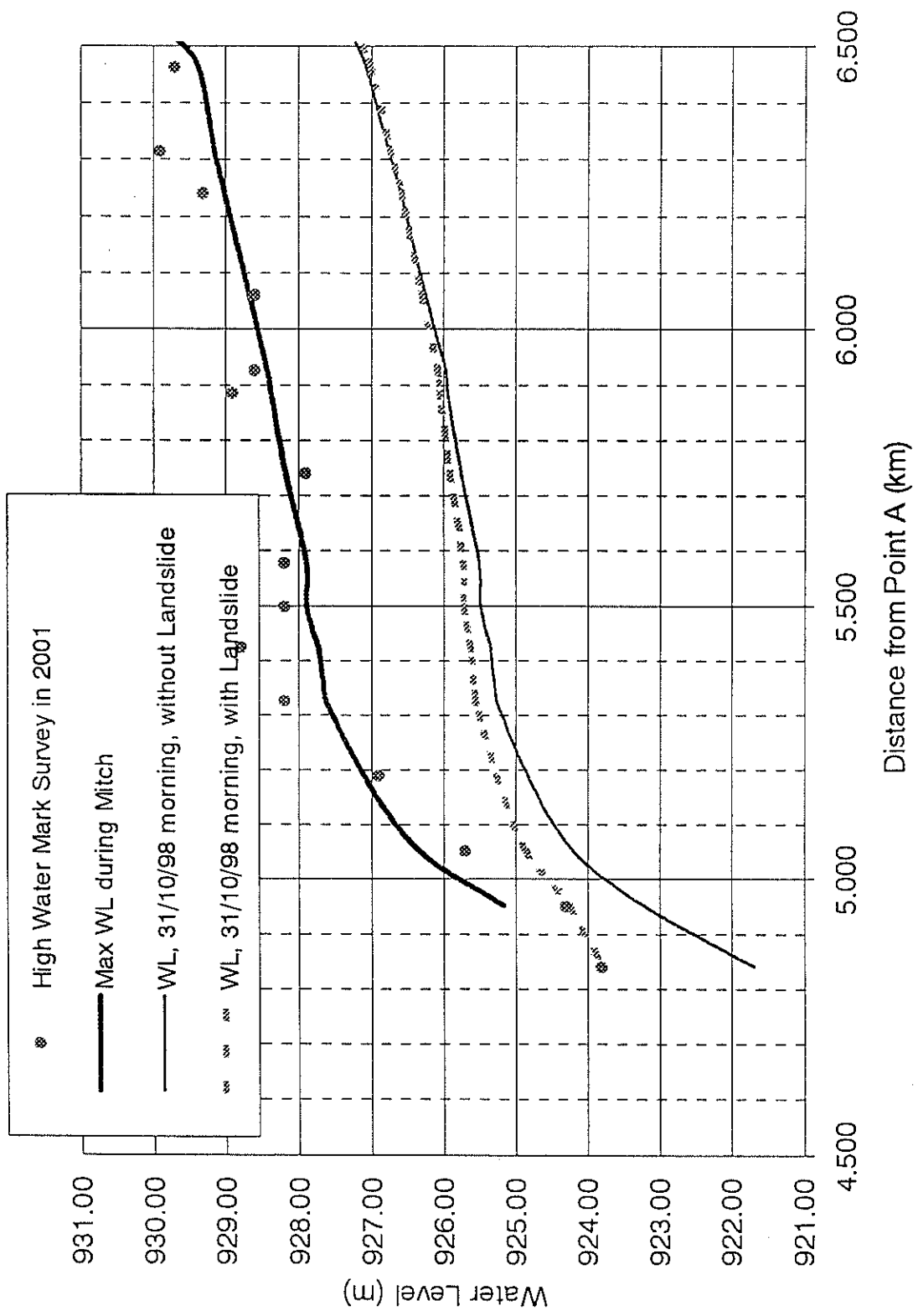


Figura 2.17

Smulación de Nivel de Agua en el Río Choluteca durante el Huracán Mitch y Resultados del Estudio de Marca de Agua Alta

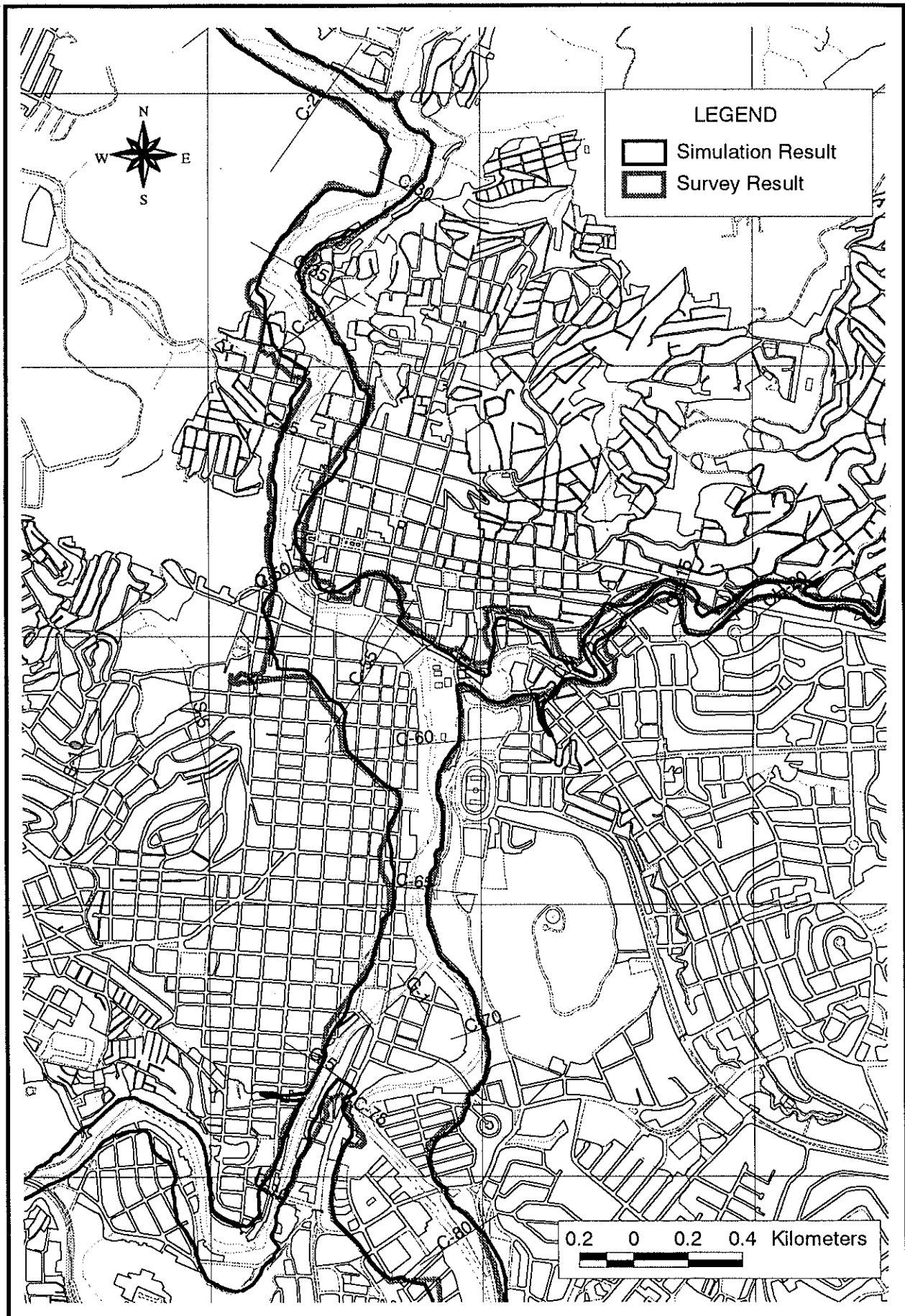


Figura 2.18

Comparación de Area de Inundación de Mitch

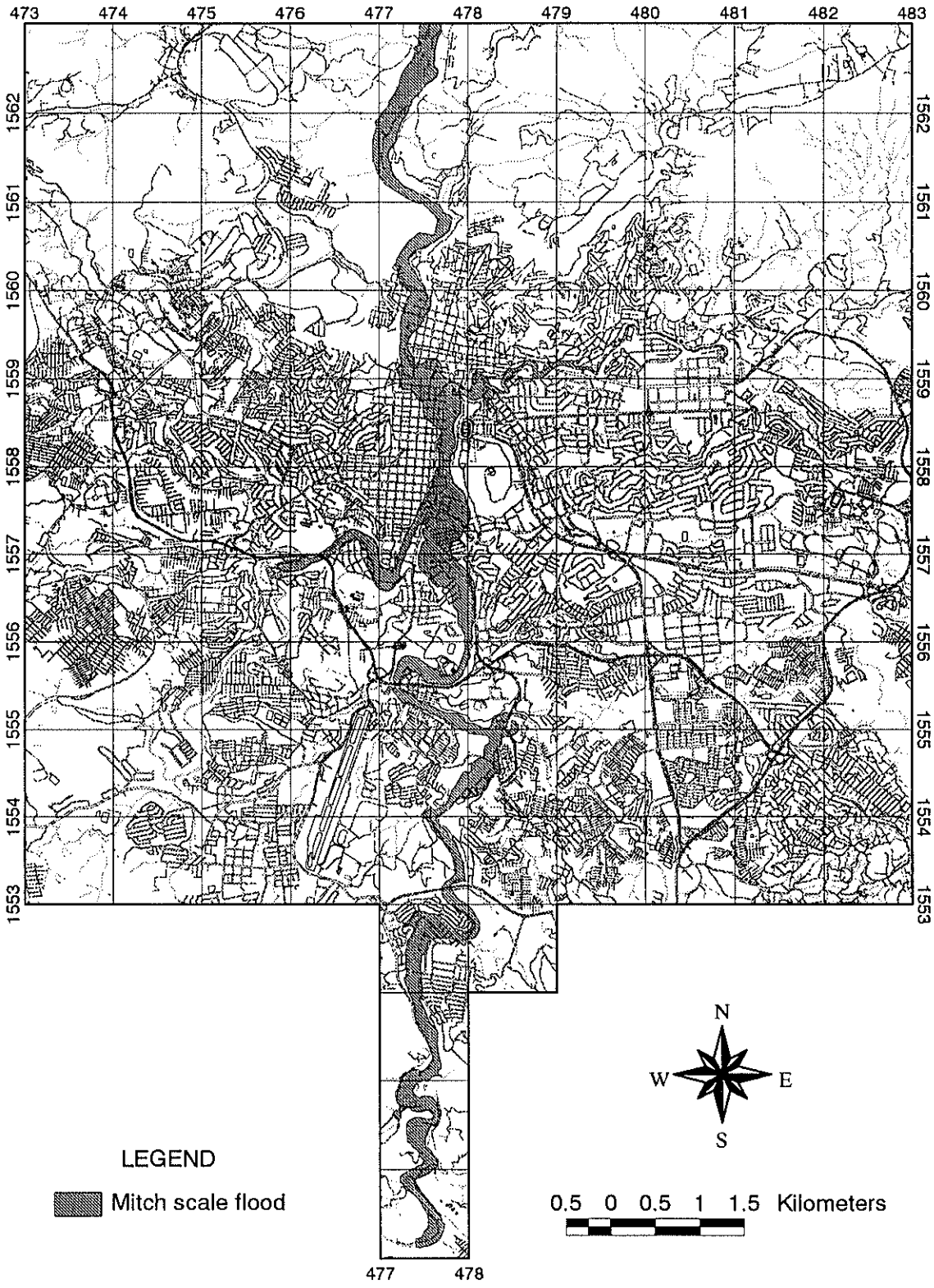


Figura 2.19 (1)

Mapa de Amenaza  
(Mapa de Area de Inundación con escala de Mitch)(1/2)

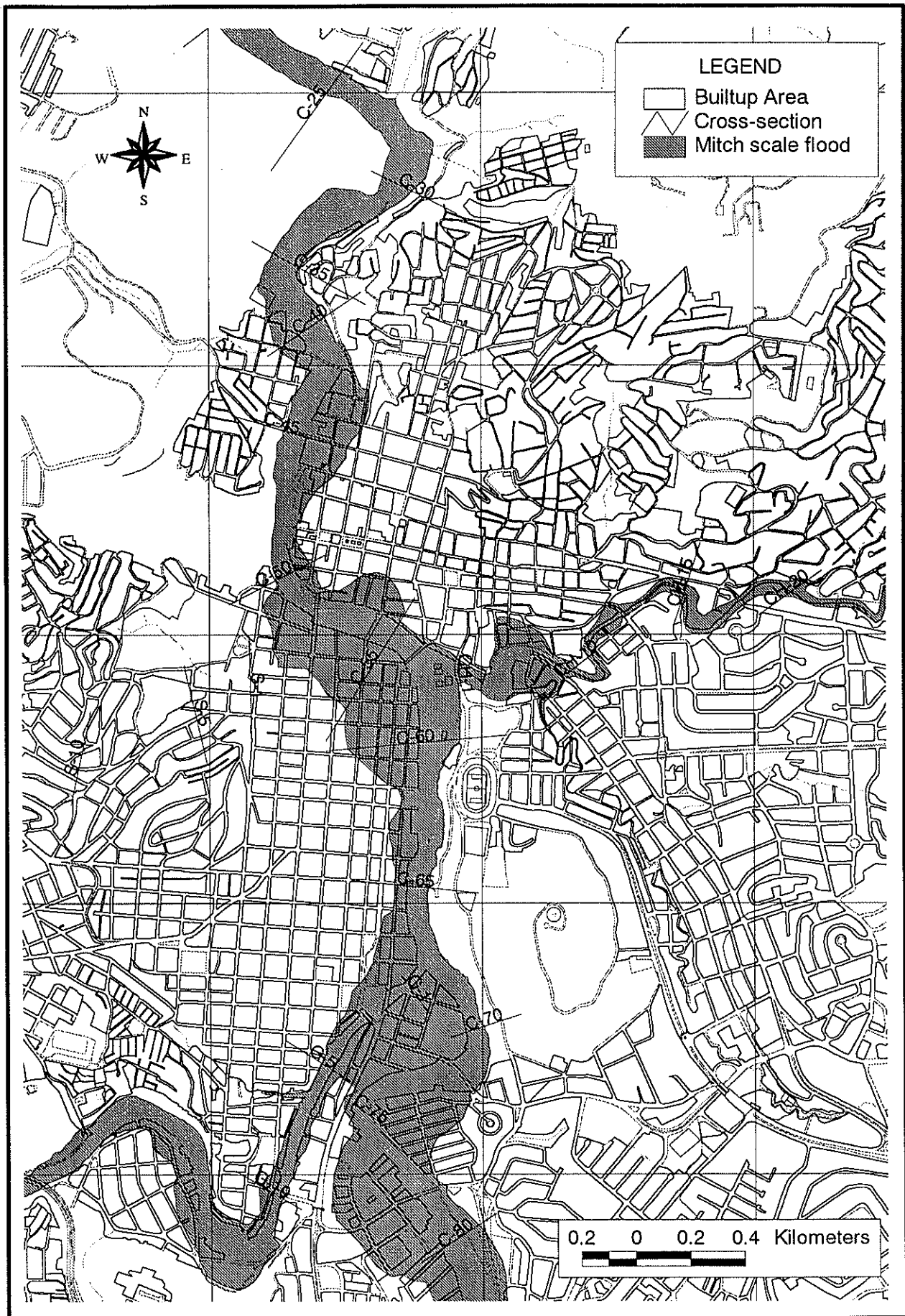


Figura 2.19 (2)

Mapa de Amenaza  
(Mapa de Area de Inundación con escala de Mitch)(2/2)

Sediment Load ( $Q=1,000\text{m}^3/\text{s}$ )

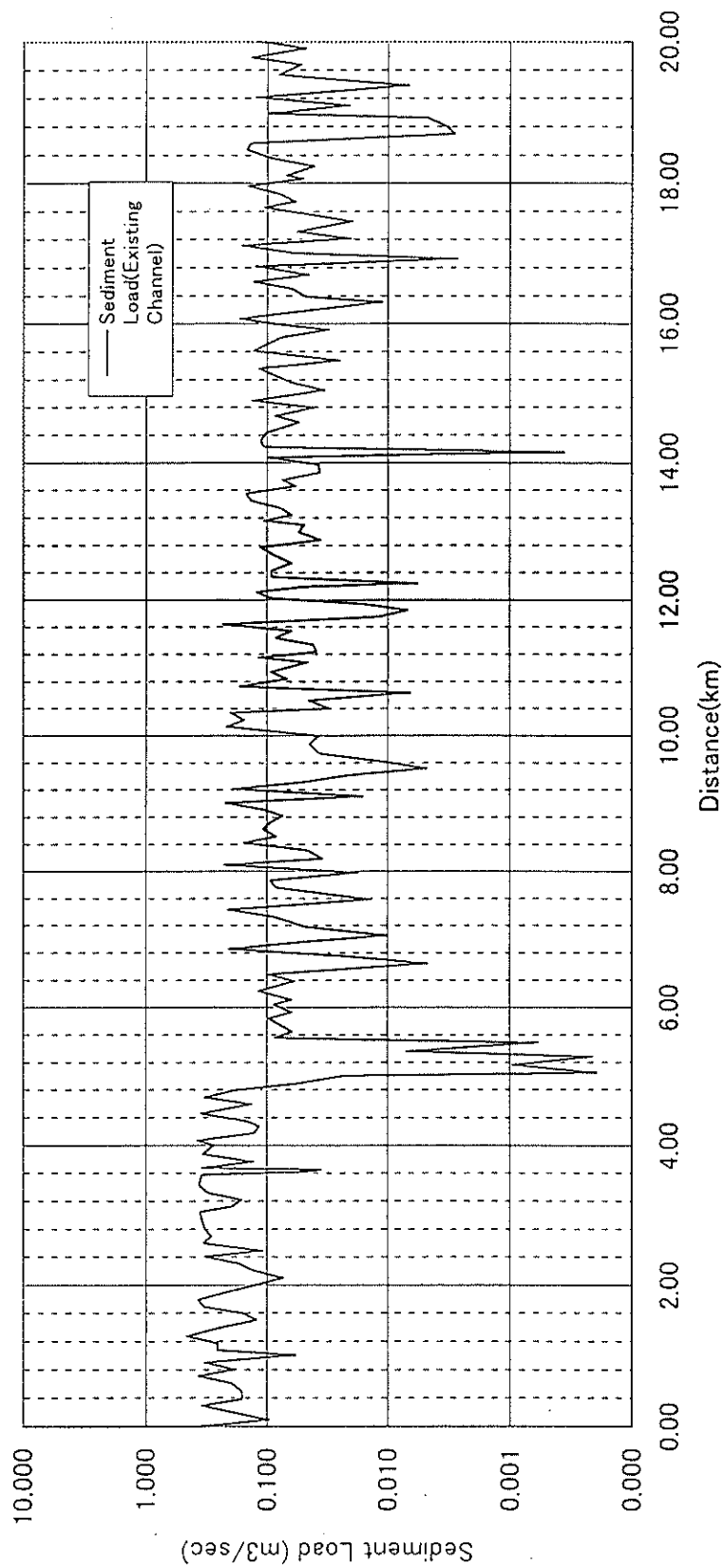


Figura 2.20

Capacidad de Transporte de Sedimentos

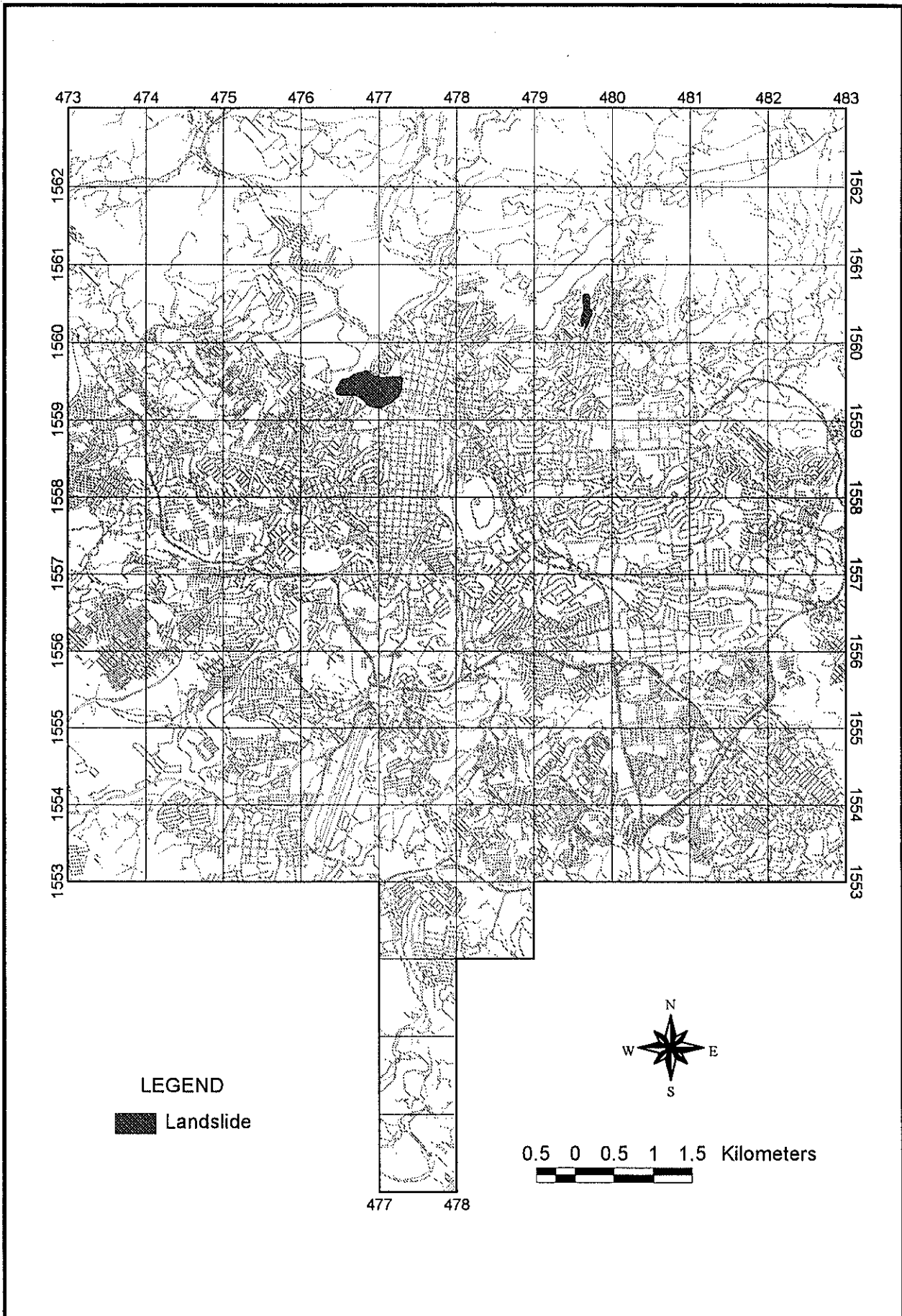


Figura 2.21 (1)

Mapa de Ubicación de Deslizamiento durante el Huracán Mitch



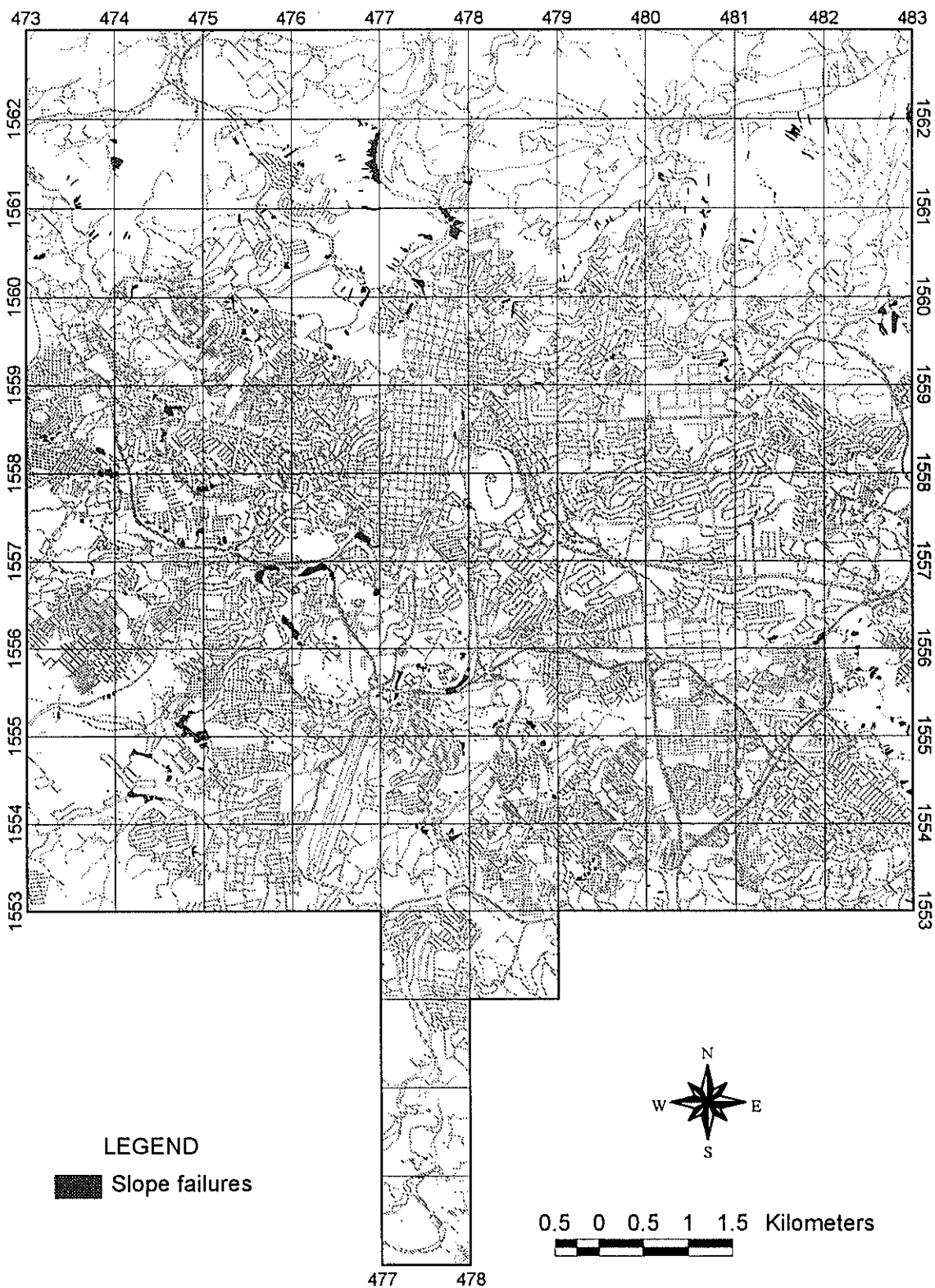


Figura 2.21 (2)

Mapa de Ubicación de Derrumbamiento de Talud durante el Huracán Mitch



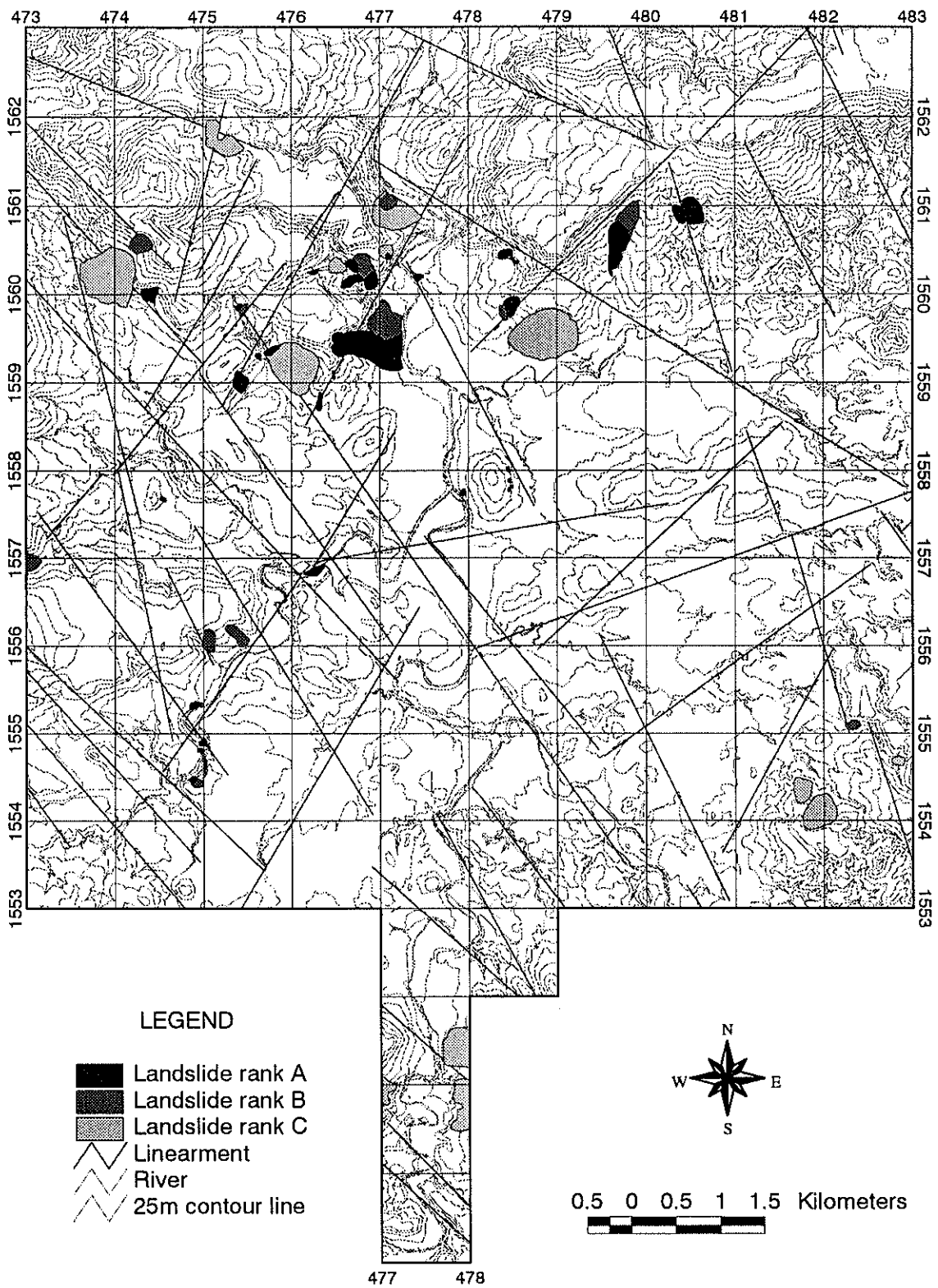


Figura 2.22

Distribución de Masas de Deslizamiento

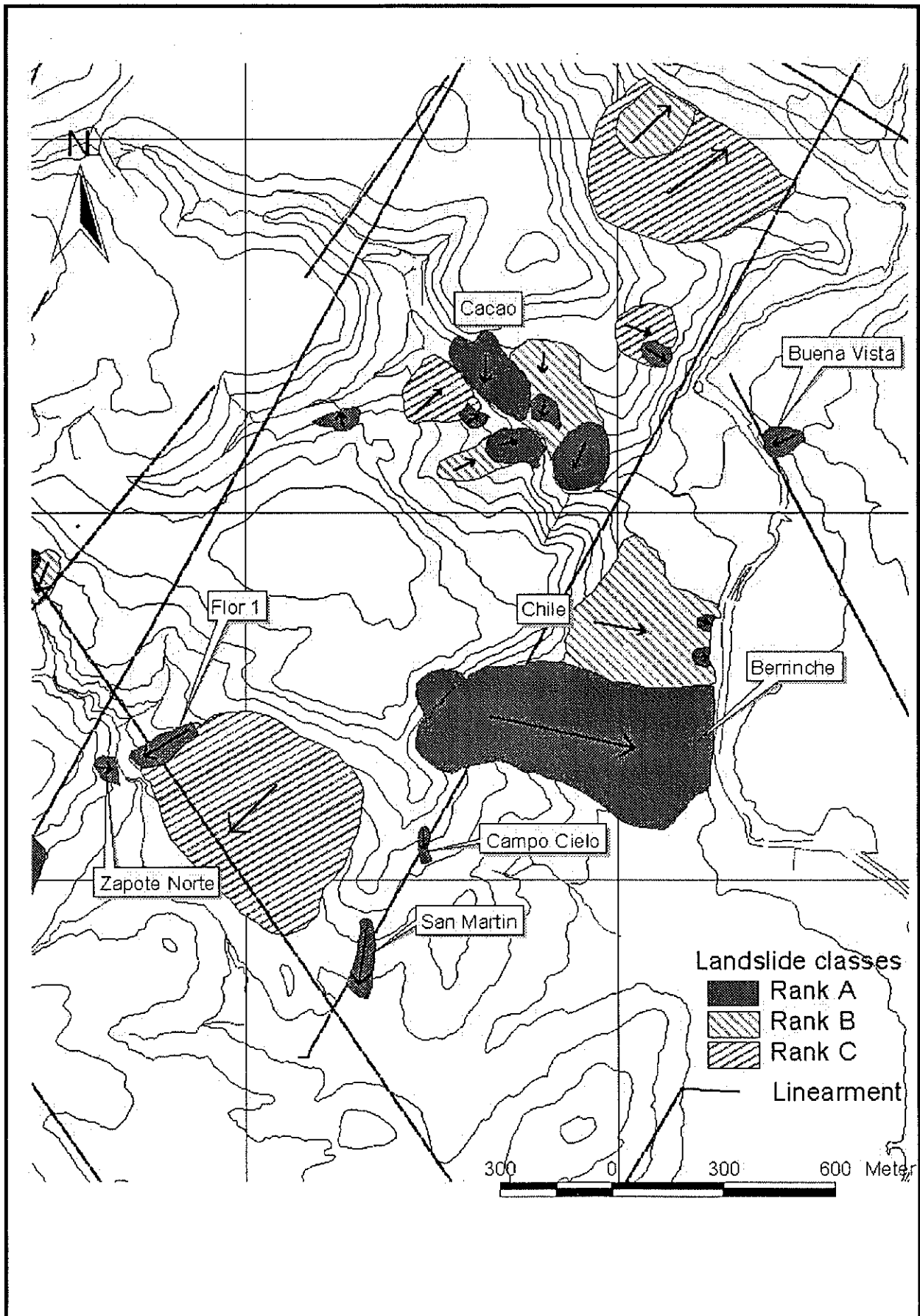


Figura 2.23

Distribución de Masas de Deslizamiento (Parte norte del Area)

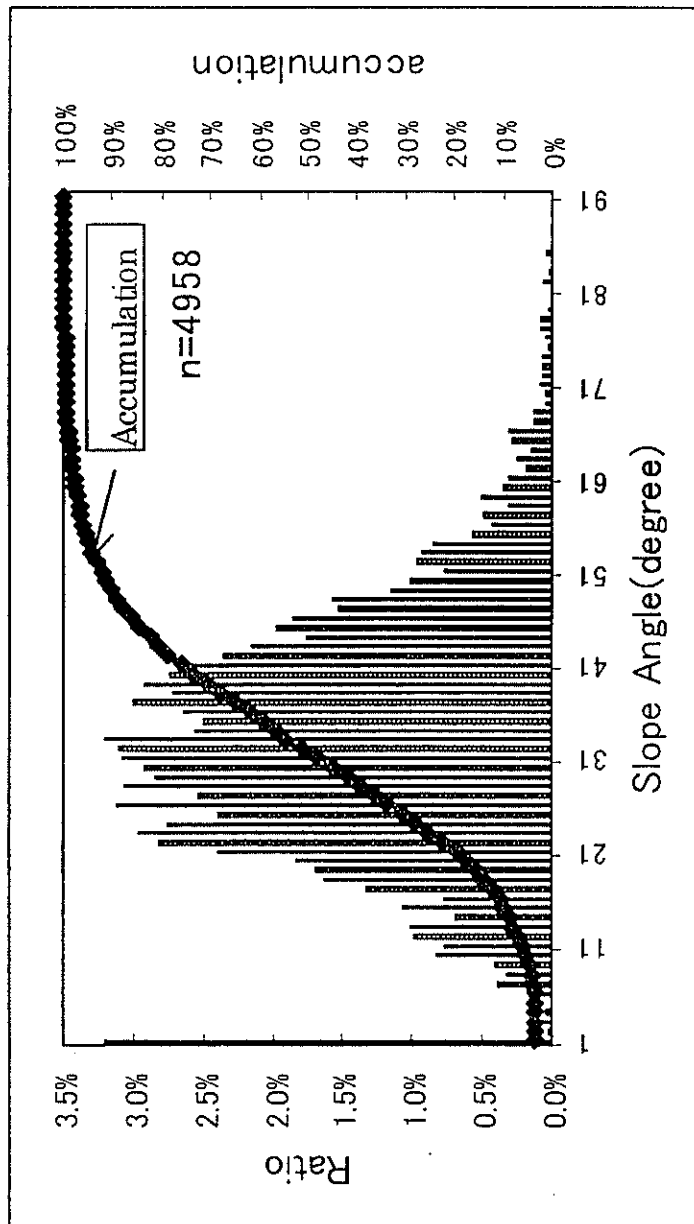


Figura 2.24

Inclinación de Pendiente de Derrumbamiento de Talud

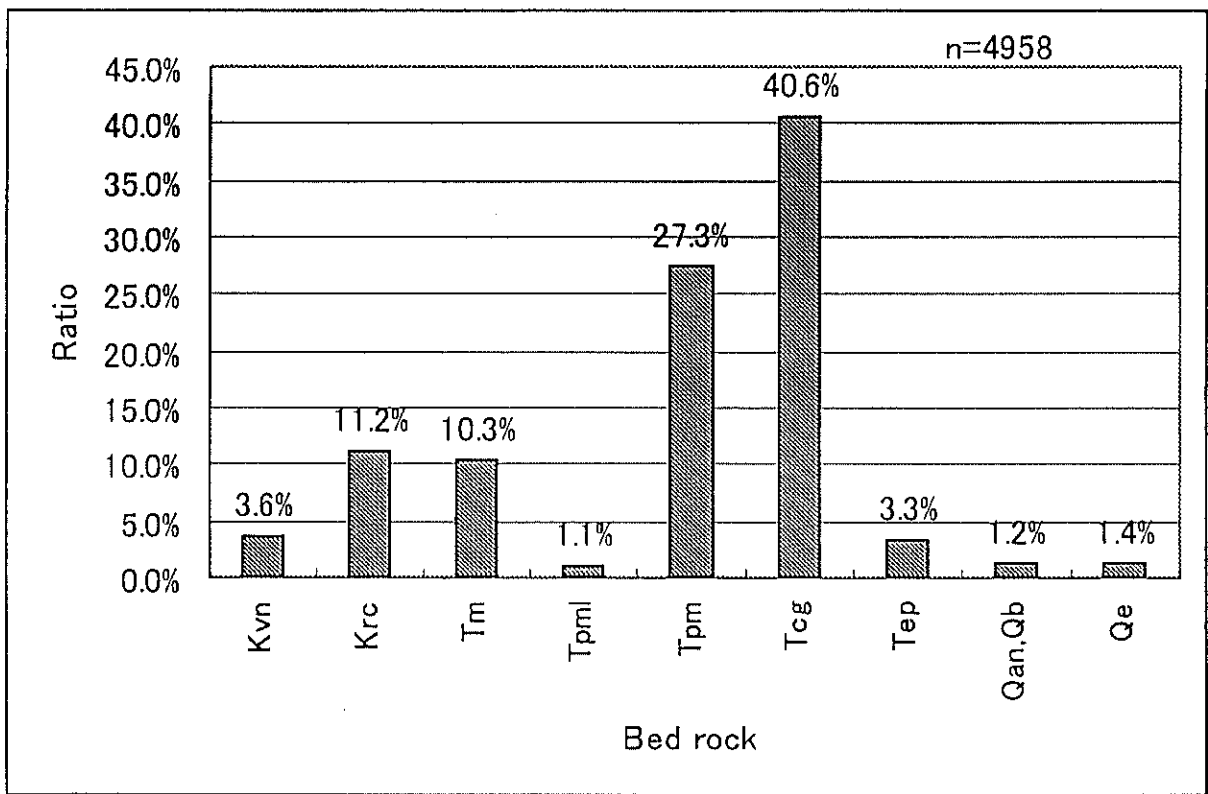


Figura 2.25

Clasificación Geológica de Derrumbamiento de Talud